

Groth16 学习笔记

原创

mutourend

🕒 于 2021-05-04 21:09:44 发布


👁 1706

🌟 收藏 6

版权

分类专栏:

零知识证明

 零知识证明 专栏收录该内容

76 订阅 218 篇文章

订阅专栏

1. 引言

Groth 2016年论文《[On the Size of Pairing-based Non-interactive Arguments](#)》。

相关代码实现有：

- <https://github.com/matter-labs/bellman>
- <https://github.com/zkcrypto/bellman>
- <https://github.com/arkworks-rs/groth16>

非交互式argument 允许Prover convince Verifier that a statement is true。

近期在理论和实践上，构建具有small size和low verification complexity的高效非交互式argument均取得重大进展，具有small size和low verification complexity的非交互式argument也称为SNARGs (succinct non-interactive arguments) 或 SNARKs (succinct non-interactive arguments of knowledge)。

很多SNARGs都是基于pairing 构建的，这种构建方式：

- proof中包含多个group elements
- verification中需验证多个pairing product方程式

1.1 相关研究

Goldwasser等人在1989年论文[GMR89]中指出，零知识证明应具有如下属性：

- Completeness完备性：已知statement和相应的witness，Prover可convince Verifier。
- Soundness 可靠性：malicious Prover无法convince Verifier of a false statement。
- Zero-knowledge 零知识性：proof除了说明the truth of the statement，不会泄露任何其它信息，尤其是Prover的witness。

Blum等人在[FBM88]中将以上观点扩展至 non-interactive zero-knowledge (NIZK) proofs in the common reference string model。NIZK proofs可用于构建non-interactive cryptographic schemes，如数字签名和CCA-secure public key encryption。

零知识证明中的communication cost是一个重要的性能指标。Kilian在[Kil92]中提出了第一个sublinear communication cost的方案，其发送的bits数量比 待证明的statement size要小。Micali [Mic00]和Kilian [Kil95]中指出，Prover可利用a cryptographic function来计算Verifier



的challenges，从而实现public coin和zero-knowledge。

Groth, Ostrovsky和Sahai [GOS12,GOS06,Gro06,GS12]中介绍了pairing-based NIZK proofs，产生了第一个基于standard assumption的linear size proof。[Gro10]中将这些技术与[Gro09]中的interactive zero-knowledge argument结合，提出了第一个constant size NIZK argument。[Lip12]中基于progression-free sets减少了common reference string的size。

[Gro10]中的constant size NIZK argument中构建了一系列的polynomial方程式，使用pairings来高效验证这些方程式。Gennaro [GGPR13] 中富有见解的采用基于Lagrange interpolation polynomials来构建polynomial 方程式，从而实现了pairing-based NIZK argument，其common reference string size与statement size和witness size呈正比。在[GGPR13]中给出了2种类型的方程式：

- Quadratic span programs for proving Boolean circuit satisfiability
- Quadratic arithmetic programs for proving arithmetic circuit satisfiability

Lipmaa [Lip13] 建议使用error correcting codes来构建更高效的quadratic span programs。Danezis等人 [DFGK14]中优化quadratic span program为square span program，使得boolean circuit satisfiability的proof中仅包含4个group elements。

当前一些研究在理论上也取得了进展，如：
[PHGR13,BCG+13,BFR+13,BCTV14b,KPP+14,BBFR15,CTV15,WSR+15,CFH+15,SVdV16]

大多数高效实现都是将[GGPR13]中改进的quadratic arithmetic program 与 可生成合适quadratic arithmetic program的compiler 结合。如libsnark [BCTV14b, BSCG+14]中也包含基于[DFGK14]中的NIZK argument。

非交互式argument可用于：

- Verifiable computation：如算力外包等。零知识SNARKs是Pinocchio coin [DFKP13] 和 Zerocash [BCG+14]的核心元素。

1.2 本文主要贡献

本文的主要贡献有：

- (1) succinct NIZK

为arithmetic circuit satisfiability构建了pairing-based (preprocessing) SNARK。采用非对称pairing，proof中仅包含3个group element, verification中仅需验证一个paring product方程式，该方程式中一共只有3个pairing计算。

本文的构建方式支持任意类型的pairings，包括Type III pairings，Type III pairings为当前效率最高的pairings。

对boolean circuit satisfiability和arithmetic circuit satisfiability的性能对比如下图所示：【评估的维度有：common reference string (CRS)



的size、proof size、Prover的computation、Verifier的computation、验证proof所需的pairing product equations的数量。】

	CRS size	Proof size	Prover comp.	Verifier comp.	PPE
[DFGK14]	$2m + n - 2\ell \mathbb{G}_1, m + n - \ell \mathbb{G}_2$	$3 \mathbb{G}_1, 1 \mathbb{G}_2$	$m + n - \ell E_1$	$\ell M_1, 6 P$	3
This work	$3m + n \mathbb{G}_1, m \mathbb{G}_2$	$2 \mathbb{G}_1, 1 \mathbb{G}_2$	$n E_1$	$\ell M_1, 3 P$	1

Table 1. Comparison for boolean circuit satisfiability with ℓ -bit statement, m wires and n fan-in 2 logic gates. Notation: \mathbb{G} means group elements, M means multiplications, E means exponentiations and P means pairings with subscripts indicating the relevant group. It is possible to get a CRS size of $m + 2n$ elements in \mathbb{G}_1 and n elements in \mathbb{G}_2 but we have chosen to include some precomputed values in the CRS to reduce the prover’s computation, see Sect. 3.2.

	CRS size	Proof size	Prover comp.	Verifier comp.	PPE
[PHGR13]	$7m + n - 2\ell \mathbb{G}$	$8 \mathbb{G}$	$7m + n - 2\ell E$	$\ell E, 11 P$	5
This work	$m + 2n \mathbb{G}$	$3 \mathbb{G}$	$m + 3n - \ell E$	$\ell E, 3 P$	1
[BCTV14a]	$6m + n + \ell \mathbb{G}_1, m \mathbb{G}_2$	$7 \mathbb{G}_1, 1 \mathbb{G}_2$	$6m + n - \ell E_1, m E_2$	$\ell E_1, 12 P$	5
This work	$m + 2n \mathbb{G}_1, n \mathbb{G}_2$	$2 \mathbb{G}_1, 1 \mathbb{G}_2$	$m + 3n - \ell E_1, n E_2$	$\ell E_1, 3 P$	1

Table 2. Comparison for arithmetic circuit satisfiability with ℓ -element statement, m wires, n multiplication gates. Notation: \mathbb{G} means group elements, E means exponentiations and P means pairings. We compare symmetric pairings in the first two rows and asymmetric pairings in the last two rows.

(2) lower bounds

回答了Bitansky等人（TCC2013）的开放问题，说明2-move linear interactive proofs cannot have a linear decision procedure。对于使用generic asymmetric bilinear group的SNARGs，prover和verifier的group operation操作中不可能仅包含一个group element。这给出了pairing-based SNARGs的下限值。至于是否能在现有3个group elements的基础上进一步优化proof size为2个group elements，目前仍是一个开放问题。

1.3 Bilinear groups

bilinear groups $(\mathbb{p}, \mathbb{G}_1, \mathbb{G}_2, \mathbb{G}_T, e, g, h)$ 具有如下属性：

- $\mathbb{G}_1, \mathbb{G}_2, \mathbb{G}_T$ 为groups of prime order \mathbb{p}
- pairing $e : \mathbb{G}_1 \times \mathbb{G}_2 \rightarrow \mathbb{G}_T$ 为bilinear map
- g 为generator for \mathbb{G}_1 , h 为generator for \mathbb{G}_2 , $e(g, h)$ 为generator for \mathbb{G}_T 。
- 存在高效的算法来计算group operations、evaluate bilinear map、decide membership of the groups、decide equality of group elements以及sample generators of the groups。将这些计算统称为generic group operations。

基于的安全假设为DLP。

做了如下约定：

- $[a]_1$ 表示 g^a , $[b]_2$ 表示 h^b , $[c]_T$ 表示 $e(g, h)^c$ 。
- $g = [1]_1, h = [1]_2, e(g, h) = [1]_T$
- $[a]_T + [b]_T = [a + b]_T$
- $[\vec{a}]_i + [\vec{b}]_i = [\vec{a} + \vec{b}]_i$ 为a vector of group elements

1.4 non-interactive zero-knowledge arguments of knowledge

relation $(\phi, w) \in \mathbb{R}$, 其中 ϕ 为statement, w 为witness。

publicly verifiable non-interactive argument包含了4个probabilistic polynomial algorithms (Setup, Prove, Vfy, Sim):

- $(\sigma, \tau) \leftarrow \text{Setup}(\mathbb{R})$: setup算法，输入为relation \mathbb{R} , 输出为common reference string σ 和相应的simulation trapdoor τ 。



- $\pi \leftarrow \text{Prove}(\mathbf{R}, \sigma, \phi, w)$: Prover算法, 输入为common reference string σ 、 $(\phi, w) \in \mathbf{R}$, 输出为argument π 。
- $0/1 \leftarrow \text{Vfy}(\mathbf{R}, \sigma, \phi, \pi)$: Verification算法, 输入为common reference string σ 、statement ϕ 、argument π , 输出为0 (reject) 或 1 (accept) 。
- $\pi \leftarrow \text{Sim}(\mathbf{R}, \tau, \phi)$: Simulator算法, 输入为simulation trapdoor τ 、statement ϕ , 输出为argument π 。

可将common reference σ 分为两部分：

- σ_P , 给Prover用
- σ_V , 给Veriifier用

若 σ_V 可根据 σ_P 推导获得, 则可称为public verifiable non-interactive argument。

2. Quadratic arithmetic programs

考虑只有加法和乘法门的arithmetic circuit over finite field \mathbb{F} , 存在statements和witnesses满足所有n个方程式 (n个乘法gates, m个wires) :

$$\sum a_i u_{i,q} \cdot \sum a_i v_{i,q} = \sum a_i w_{i,q}$$
其中, $a_0 = 1, a_1, \dots, a_m \in \mathbb{F}$, $u_{i,q}, v_{i,q}, w_{i,q}$ 为constants in \mathbb{F} specifying the qth equation.

对于某乘法门 $a_i \cdot a_j = a_k$, 设置相应行的 $u_i = 1, v_j = 1, w_k = 1$, 设置该行其他元素为0。
对于加法门, 不计入方程式数量中。即, 若 $a_i + a_j = a_k$ 且 $a_l \cdot a_l$, 则表示为 $(a_i + a_j) \cdot a_l$, 跳过 a_k 的计算。

根据[GGPR13]中的规则, 假设 \mathbb{F} 足够大, 将arithmetic constraints 表示为quadratic arithmetic program。
取任意不同的值 $r_1, \dots, r_n \in \mathbb{F}$, 定义 $t(x) = \prod_{q=1}^n (x - r_q)$ 。
另 $u_i(x), v_i(x), w_i(x)$ 为degree $n - 1$ 多项式, 满足:
 $u_i(r_q) = u_{i,q}, v_i(r_q) = v_{i,q}, w_i(r_q) = w_{i,q}$ for $i = 0, \dots, m, q = 1, \dots, n$

于是有, 对于 $a_0 = 1, a_1, \dots, a_m \in \mathbb{F}$ 满足n个方程式, 当且仅当, 对于每一个 r_1, \dots, r_q , 以下等式成立:
 $\sum_{i=0}^m a_i u_i(r_q) \cdot \sum_{i=0}^m a_i v_i(r_q) = \sum_{i=0}^m a_i w_i(r_q)$

由于 $t(X)$ 为the lowest degree monomial with $t(r_q) = 0$ in each point, 可表示为:
 $\sum_{i=0}^m a_i u_i(X) \cdot \sum_{i=0}^m a_i v_i(X) = \sum_{i=0}^m a_i w_i(X) \mod t(X)$

最终, 整个quadratic arithmetic programs R 可表示为:
 $R = (\mathbb{F}, aux, l, \{u_i(X), v_i(X), w_i(X)\}_{i=0}^m, t(X))$
其中, \mathbb{F} 为finite field, aux 为some auxiliary information, $1 \leq l \leq m$, $u_i(X), v_i(X), w_i(X), t(X) \in \mathbb{F}[X]$, 且
 $u_i(X), v_i(X), w_i(X)$ 的degree严格低于 $t(X)$ 的degree, $t(X)$ 的degree为n。

定义 $a_0 = 1$, 以上description可表示为如下binary relation:

$$R = \left\{ (\phi, w) \left| \begin{array}{l} \phi = (a_1, \dots, a_\ell) \in \mathbb{F}^\ell \\ w = (a_{\ell+1}, \dots, a_m) \in \mathbb{F}^{m-\ell} \\ \sum_{i=0}^m a_i u_i(X) \cdot \sum_{i=0}^m a_i v_i(X) \equiv \sum_{i=0}^m a_i w_i(X) \mod t(X) \end{array} \right. \right\}$$

3. non-interactive linear proofs (NILP)



Bitansky [BCI+13] 中提出了基于2-move algebraic input-oblivious linear interactive proofs构建SNARK的方法，为了便于区分，本文将该方法称为non-interactive linear proof (NILP)。

NILP的运行流程为：

- $(\vec{\sigma}, \vec{\tau}) \leftarrow \text{Setup}(\mathbf{R})$: setup算法，为probabilistic polynomial time算法，输入为relation \mathbf{R} ，输出为向量 $\vec{\sigma} \in \mathbb{F}^m, \vec{\tau} \in \mathbb{F}^n$ 。为了简化描述， $\vec{\sigma}$ 中总是包含1 as an entry，使得affine和linear functions of σ 是无区别的。
- $\vec{\pi} \leftarrow \text{Prove}(\mathbf{R}, \vec{\sigma}, \phi, w)$: Prover算法，主要分为2个阶段：
1) 运行 $\mathbf{\Pi} \leftarrow \text{ProofMatrix}(\mathbf{R}, \phi, w)$ ，其中ProofMatrix为probabilistic polynomial time 算法，输出为矩阵 $\mathbf{\Pi} \in \mathbb{F}^{k \times m}$ 。
2) 计算proof $\vec{\pi} = \mathbf{\Pi} \vec{\sigma}$ 。
- $0/1 \leftarrow \text{Verify}(\mathbf{R}, \vec{\sigma}, \phi, \pi)$: 为Verifier算法，主要分为以下2个阶段：
1) 运行deterministic polynomial time algorithm $\vec{t} \leftarrow \text{Test}(\mathbf{R}, \phi)$ ，以获得arithmetic circuit $\vec{t} : \mathbb{F}^{m+k} \rightarrow \mathbb{F}^n$ ，对应为the evaluation of a vector of multi-variate polynomials of total degree d 。
2) 当且仅当 $\vec{t}(\vec{\sigma}, \vec{\pi}) = \vec{0}$ 时，accept the proof。

NILP的价值：

- 借助pairings，可将NILP转换为publicly verifiable non-interactive arguments
- 借助a variant of Paillier encryption [BCI+13]，可将NILP转换为designated verifier non-interactive arguments。

基于Type III pairing，基于DLP假设构建NILP，需对其进行split切分：

- common reference string切分： $\vec{\sigma} = (\vec{\sigma}_1, \vec{\sigma}_2)$
- proof切分： $\vec{\pi} = (\vec{\pi}_1, \vec{\pi}_2)$ ，切分的proof与切分的crs存在对应关系。
- 对proof进行verify时，对应的quadratic equation中每个变量的degree应为1。

3.1 split NILP

split NILP的运行流程为：

- $(\vec{\sigma}, \vec{\tau}) \leftarrow \text{Setup}(\mathbf{R})$: setup算法，为probabilistic polynomial time算法，输入为relation \mathbf{R} ，输出为向量 $\vec{\sigma} = (\sigma_1, \sigma_2) \in \mathbb{F}^{m_1} \times \mathbb{F}^{m_2}, \vec{\tau} \in \mathbb{F}^n$ 。为了简化描述， $\vec{\sigma}_1$ 和 $\vec{\sigma}_2$ 中总是包含1 as an entry，使得affine和linear functions of σ 是无区别的。
- $\vec{\pi} \leftarrow \text{Prove}(\mathbf{R}, \vec{\sigma}, \phi, w)$: Prover算法，主要分为2个阶段：
1) 运行 $\mathbf{\Pi} \leftarrow \text{ProofMatrix}(\mathbf{R}, \phi, w)$ ，其中ProofMatrix为probabilistic polynomial time 算法，输出为矩阵 $\mathbf{\Pi} = \begin{pmatrix} \mathbf{\Pi}_1 & 0 \\ 0 & \mathbf{\Pi}_2 \end{pmatrix}$ ，其中 $\mathbf{\Pi}_1 \in \mathbb{F}^{k_1 \times m_1}, \mathbf{\Pi}_2 \in \mathbb{F}^{k_2 \times m_2}$ 。
2) 计算proof $\vec{\pi}_1 = \mathbf{\Pi}_1 \vec{\sigma}_1, \vec{\pi}_2 = \mathbf{\Pi}_2 \vec{\sigma}_2$ ，返回 $\vec{\pi} = (\vec{\pi}_1, \vec{\pi}_2)$ 。
- $0/1 \leftarrow \text{Verify}(\mathbf{R}, \vec{\sigma}, \phi, \pi)$: 为Verifier算法，主要分为以下2个阶段：
1) 运行deterministic polynomial time algorithm $\vec{t} \leftarrow \text{Test}(\mathbf{R}, \phi)$ ，以获得arithmetic circuit $\vec{t} : \mathbb{F}^{m_1+k_1+m_2+k_2} \rightarrow \mathbb{F}^n$ ，对应矩阵 $T_1, \dots, T_{\eta} \in \mathbb{F}^{(m_1+k_1) \times (m_2+k_2)}$ 。
2) 当且仅当对所有的矩阵 T_1, \dots, T_{η} ，都有 $\begin{pmatrix} \vec{\sigma}_1 \\ \vec{\pi}_1 \end{pmatrix} \cdot T_i \begin{pmatrix} \vec{\sigma}_2 \\ \vec{\pi}_2 \end{pmatrix} = 0$ 时，accept the proof。



3.2 基于pairing 由split NILP构建的non-interactive argument

基于pairing 由split NILP构建的non-interactive argument (Setup', Prove', Vfy', Sim')为:

- $(\vec{\sigma}, \vec{\tau}) \leftarrow \text{Setup}'(\mathbf{R})$: 运行 $(\vec{\sigma}_1, \vec{\sigma}_2, \vec{\tau}) \leftarrow \text{Setup}(\mathbf{R})$, 输入为relation \mathbf{R} , 输出为向量 $\vec{\sigma} = ([\sigma_1]_1, [\sigma_2]_2) \in \mathbb{G}_1^{m_1} \times \mathbb{G}_2^{m_2}, \vec{\tau} \in \mathbb{F}^n$ 。
- $\vec{\pi} \leftarrow \text{Prove}'(\mathbf{R}, \vec{\sigma}, \phi, w)$: Prover算法, 主要分为2个阶段:
 - 1) 运行 $\mathbf{\Pi} \leftarrow \text{ProofMatrix}(\mathbf{R}, \phi, w)$, 其中ProofMatrix为probabilistic polynomial time 算法, 输出为矩阵 $\mathbf{\Pi} = \begin{pmatrix} \mathbf{\Pi}_1 & 0 \\ 0 & \mathbf{\Pi}_2 \end{pmatrix}$, 其中 $\mathbf{\Pi}_1 \in \mathbb{F}^{k_1 \times m_1}, \mathbf{\Pi}_2 \in \mathbb{F}^{k_2 \times m_2}$ 。
 - 2) 计算proof $\vec{\pi}_1 = \mathbf{\Pi}_1 \vec{\sigma}_1, \vec{\pi}_2 = \mathbf{\Pi}_2 \vec{\sigma}_2$, 返回 $\vec{\pi} = ([\pi_1]_1, [\pi_2]_2) \in \mathbb{G}_1^{k_1} \times \mathbb{G}_2^{k_2}$ 。
- $0/1 \leftarrow \text{Vfy}'(\mathbf{R}, \vec{\sigma}, \phi, \pi)$: 为Verifier算法, 主要分为以下2个阶段:
 - 1) 运行deterministic polynomial time algorithm $\vec{t} \leftarrow \text{Test}(\mathbf{R}, \phi)$, 以获得arithmetic circuit $\vec{t}: \mathbb{F}^{m_1+k_1+m_2+k_2} \rightarrow \mathbb{F}^n$, 对应矩阵 $T_1, \dots, T_\eta \in \mathbb{F}^{(m_1+k_1) \times (m_2+k_2)}$ 。
 - 2) 当且仅当对所有的矩阵 T_1, \dots, T_η , 都有 $\begin{bmatrix} \vec{\sigma}_1 \\ \vec{\pi}_1 \end{bmatrix}_1 \cdot T_i \begin{bmatrix} \vec{\sigma}_2 \\ \vec{\pi}_2 \end{bmatrix}_2 = [0]_T$ 时, accept the proof。
- $\pi \leftarrow \text{Sim}'(\mathbf{R}, \vec{\tau}, \phi)$: Simulate $(\vec{\pi}_1, \vec{\pi}_2) \leftarrow \text{Sim}(\mathbf{R}, \vec{\tau}, \phi)$, 返回 $\vec{\pi} = ([\pi_1]_1, [\pi_2]_2)$

4. 构建non-interactive arguments

接下来, 将为quadratic arithmetic programs构建pairing-based NIZK argument, 其proof中仅包含3个group elements。
具体的构建步骤分为2步:

- 1) 为quadratic arithmetic programs构建NILP
- 2) 该NILP为split NILP, 可利用之前提到的compilation技术将其转换为pairing-based NIZK argument。

4.1 NILP for quadratic arithmetic programs

quadratic arithmetic program对应的Relation表示为:

$$\mathbf{R} = (\mathbb{F}, aux, l, \{u_i(X), v_i(X), w_i(X)\}_{i=0}^m, t(X))$$

其中 $(a_1, \dots, a_l) \in \mathbb{F}^l$ 为statement, $(a_{l+1}, \dots, a_m) \in \mathbb{F}^{m-l}$ 为witness, $a_0 = 1$ 。

满足:

$$\sum_{i=0}^m a_i u_i(X) \cdot \sum_{i=0}^m a_i v_i(X) = \sum_{i=0}^m a_i w_i(X) + h(X)t(X)$$

其中, $t(X)$ 的degree为n, quotient polynomial $h(X)$ 的degree 为n - 2。

相应的(Setup, Prove, Vfy, Sim) 算法为:

- $(\vec{\sigma}, \vec{\tau}) \leftarrow \text{Setup}(\mathbf{R})$: 选择 $\alpha, \beta, \gamma, \delta, x \leftarrow \mathbb{F}^*$, 设置 $\vec{\tau} = (\alpha, \beta, \gamma, \delta, x)$, $\vec{\sigma} = (\alpha, \beta, \gamma, \delta, \{x^i\}_{i=0}^{n-1}, \{\frac{\beta u_i(x) + \alpha v_i(x) + w_i(x)}{\gamma}\}_{i=0}^1, \{\frac{\beta u_i(x) + \alpha v_i(x) + w_i(x)}{\delta}\}_{i=l+1}^m, \{\frac{x^i t(x)}{-\delta}\}_{i=0}^{n-2})$

✎

🎧

👤

- $\pi \leftarrow \text{Prove}(\mathbf{R}, \vec{\sigma}, \mathbf{a}_1, \dots, \mathbf{a}_m)$: 选择 $r, s \leftarrow \mathbb{F}$, 计算 $3 \times (m + 2n + 4)$ 矩阵 $\mathbf{\Pi}$, 使得 $\vec{\pi} = \mathbf{\Pi} \vec{\sigma} = (\mathbf{A}, \mathbf{B}, \mathbf{C})$, 其中:
$$\mathbf{A} = \alpha + \sum_{i=0}^m \mathbf{a}_i \mathbf{u}_i(\mathbf{x}) + r \delta$$
$$\mathbf{B} = \beta + \sum_{i=0}^m \mathbf{a}_i \mathbf{v}_i(\mathbf{x}) + s \delta$$
$$\mathbf{C} = \frac{\sum_{i=1+1}^m \mathbf{a}_i (\beta \mathbf{u}_i(\mathbf{x}) + \alpha \mathbf{v}_i(\mathbf{x}) + \mathbf{w}_i(\mathbf{x})) + h(\mathbf{x}) t(\mathbf{x})}{\delta} + \mathbf{A} s + r \mathbf{B} - r s \delta$$
- $0/1 \leftarrow \text{Vfy}(\mathbf{R}, \vec{\sigma}, \mathbf{a}_1, \dots, \mathbf{a}_l, \vec{\pi})$: 计算a quadratic multi-variate polynomial t , 使得 $t(\vec{\sigma}, \vec{\pi}) = 0$, 对应的test为:
$$\mathbf{A} \cdot \mathbf{B} = \alpha \cdot \beta + \frac{\sum_{i=0}^l \mathbf{a}_i (\beta \mathbf{u}_i(\mathbf{x}) + \alpha \mathbf{v}_i(\mathbf{x}) + \mathbf{w}_i(\mathbf{x}))}{\gamma} \cdot \gamma + \mathbf{C} \cdot \delta$$

若以上test成立, 则accept the proof。
- $\vec{\pi} \leftarrow \text{Sim}(\mathbf{R}, \vec{\tau}, \mathbf{a}_1, \dots, \mathbf{a}_l)$: 选择 $\mathbf{A}, \mathbf{B} \leftarrow \mathbb{F}$, 计算 $\mathbf{C} = \frac{\mathbf{A} \mathbf{B} - \alpha \beta - \sum_{i=0}^l \mathbf{a}_i (\beta \mathbf{u}_i(\mathbf{x}) + \alpha \mathbf{v}_i(\mathbf{x}) + \mathbf{w}_i(\mathbf{x}))}{\delta}$, 返回 $\vec{\pi} = (\mathbf{A}, \mathbf{B}, \mathbf{C})$ 。

以上:

- α, β : 用于保证 $\mathbf{A}, \mathbf{B}, \mathbf{C}$ are consistent with each other in the choice of $\mathbf{a}_0, \dots, \mathbf{a}_m$ 。
verification equation中的 $\alpha \cdot \beta$ product用于保证 \mathbf{A} and \mathbf{B} involve non-trivial α and β components。即意味着 $\mathbf{A} \cdot \mathbf{B}$ product中包含了 a linear dependence on α and β , 稍后将证明该linear dependence can only be balanced out by \mathbf{C} with a consistent choice of $\mathbf{a}_0, \dots, \mathbf{a}_m$ in all three of \mathbf{A}, \mathbf{B} and \mathbf{C} 。
- γ, δ : 用于使verification equation中的后2个product 与 第一个product 无关, 通过分别相应除以 γ, δ 。
这可以避免mixing and mathching of elements intended for different products in the verification equation。
- r, s : 用于randomize the proof来实现zero-knowledge。

以上NILP构建的proof具有3个field element, 具有如下特性:

- perfect completeness
- perfect zero-knowledge
- statistical knowledge soundness against affine prover strategies

4.1.1 是否可进一步将proof reduce为2个Field element?

以上NILP构建的proof具有3个field element, 是否可进一步将其reduce为2个field element呢?

Danezis等人[DFGK14] 中实现了2 field element NILP for boolean circuit satisfiability。

同时, 通过将circuit改造为只有squaring gates, 也可能实现2-element NILP for arithmetic circuit satisfiability。因为, 对于每个 multiplication gate $a \cdot b = c$, 可将其改造为 $(a + b)^2 - (a - b)^2 = 4c$ 。

当arithmetic circuit中仅有squaring gate时, 对于所有的 i , 具有 $u_i(\mathbf{x}) = v_i(\mathbf{x})$ 。
选择NILP中 $r = s$, 则有 $\mathbf{B} = \mathbf{A} + \beta - \alpha$, Prover仅需发送2个elements \mathbf{A} 和 \mathbf{C} 来make a convincing proof。

将arithmetic circuit 改造为仅有squaring gate 可能会使gate数量翻倍, 同时, 需要引入额外的wires来表达the subtraction of the squares。

因此, 这种reduction是以牺牲significant computational cost为代价的。



4.2 NIZK arguments for quadratic arithmetic programs

本节将为arithmetic program relation：

$$R = (p, \mathbb{G}_1, \mathbb{G}_2, \mathbb{G}_T, e, g, h, l, \{u_i(X), v_i(X), w_i(X)\}_{i=0}^m, t(X))$$

构建pairing-based NIZK argument。

其中：

- $|p| = \lambda$, 对应的field为 \mathbb{Z}_p 。
- $(a_1, \cdots, a_l) \in \mathbb{F}^l$ 为statement, 即public info。
- $(a_{l+1}, \cdots, a_m) \in \mathbb{F}^{m-l}$ 为witness, 即private info。
- $a_0 = 1$

满足：

$$\sum_{i=0}^m a_i u_i(X) \cdot \sum_{i=0}^m a_i v_i(X) = \sum_{i=0}^m a_i w_i(X) + h(X)t(X)$$

其中quotient polynomial $h(X)$ 的degree为 $n - 2$ 。

在以上3.2节中指出了：

NILP的一个重要的设计特征是——其很容易就可实现a split NILP。

proof elements A, B, C 在verification equation中仅使用一次，因此很容易assign them to different sides of the bilinear test。

通过将common reference string split为2部分，可enable the computation of each side of the proof，从而实现split NILP。该split NILP同时是disclosure-free的，因此可compiled into a NIZK argument in the generic group model（具体参见3.2节）。

通常的pairing-friendly elliptic curve，其 \mathbb{G}_1 的group element representation要小于 \mathbb{G}_2 的 [GPS08]。因此，取 $A, C \in \mathbb{G}_1, B \in \mathbb{G}_2$ 来使效率最优。

基于Pairing的详细实现为：

- $(\vec{\sigma}, \vec{\tau}) \leftarrow \text{Setup}(R)$: 选择 $\alpha, \beta, \gamma, \delta, x \leftarrow \mathbb{F}^*$, 设置 $\vec{\tau} = (\alpha, \beta, \gamma, \delta, x)$, $\vec{\sigma} = ([\vec{\sigma}_1]_1, [\vec{\sigma}_2]_2)$, 其中:
 $\vec{\sigma}_1 = (\alpha, \beta, \gamma, \delta, \{x^i\}_{i=0}^{n-1}, \{\frac{\beta u_i(x) + \alpha v_i(x) + w_i(x)}{\gamma}\}_{i=0}^1, \{\frac{\beta u_i(x) + \alpha v_i(x) + w_i(x)}{\delta}\}_{i=l+1}^m, \{\frac{x^i t(x)}{\delta}\}_{i=0}^{n-2}), \vec{\sigma}_2 = (\beta, \gamma, \delta, \{x^i\}_{i=0}^{n-1})$
- $\pi \leftarrow \text{Prove}(R, \vec{\sigma}, a_1, \cdots, a_m)$: 选择 $r, s \leftarrow \mathbb{F}$, 计算 $\vec{\pi} = ([A]_1, [C]_1, [B]_2)$, 其中:
 $A = \alpha + \sum_{i=0}^m a_i u_i(x) + r\delta$
 $B = \beta + \sum_{i=0}^m a_i v_i(x) + s\delta$
 $C = \frac{\sum_{i=l+1}^m a_i (\beta u_i(x) + \alpha v_i(x) + w_i(x)) + h(x)t(x)}{\delta} + As + rB - rs\delta$
- $0/1 \leftarrow \text{Vfy}(R, \vec{\sigma}, a_1, \cdots, a_l, \vec{\pi})$: 解析 $\vec{\pi} = ([A]_1, [C]_1, [B]_2) \in \mathbb{G}_1^2 \times \mathbb{G}_2$, 对应的test为:
 $[A]_1 \cdot [B]_2 = [\alpha]_1 \cdot [\beta]_2 + \sum_{i=0}^1 a_i [\frac{(\beta u_i(x) + \alpha v_i(x) + w_i(x))}{\gamma}]_1 \cdot [\gamma]_2 + [C]_1 \cdot [\delta]_2$
若以上test成立，则accept the proof。
- $\vec{\pi} \leftarrow \text{Sim}(R, \vec{\tau}, a_1, \cdots, a_l)$: 选择 $A, B \leftarrow \mathbb{F}$, 计算simulated proof $\vec{\pi} = ([A]_1, [C]_1, [B]_2)$, 其中 $C = \frac{AB - \alpha\beta - \sum_{i=0}^1 a_i (\beta u_i(x) + \alpha v_i(x) + w_i(x))}{\delta}$ 。

以上算法构建的proof具有3个Group elements （2个 \mathbb{G}_1 和1个 \mathbb{G}_2 ），具有如下特性：



- perfect completeness
- perfect zero-knowledge
- statistical knowledge soundness against adversaries that only use a polynomial number of generic bilinear group operations

整个算法的效率分析为：

- proof π 中包含3个Group elements （2个 \mathbb{G}_1 和1个 \mathbb{G}_2 ）
- common reference string中包含： n 个 \mathbb{Z}_p , $m + 2n + 3$ 个 \mathbb{G}_1 和 $n + 3$ 个 \mathbb{G}_2
- 根据以上Vfy算法中的公式可知，Verifier无需知悉整个common reference string， 仅需知悉以下内容就足够：
 $\vec{\sigma}_V = (p, \mathbb{G}_1, \mathbb{G}_2, \mathbb{G}_T, e, [1]_1, \{[\frac{(\beta u_i(x) + \alpha v_i(x) + w_i(x))}{\gamma}]_1\}_{i=0}^1, [1]_2, [\gamma]_2, [\delta]_2, [\alpha\beta]_T)$
以上Verifier的reference string中仅包含了 $1 + 2$ 个 \mathbb{G}_1 , 3 个 $\mathbb{G} + 2$ 和1个 \mathbb{G}_T 。
- Vfy算法中，Verifier需验证 $([A]_1, [C]_1, [B]_2)$ 为有效的group elements，同时验证single pairing product equation：
 $[A]_1 \cdot [B]_2 = [\alpha]_1 \cdot [\beta]_2 + \sum_{i=0}^1 a_i [\frac{(\beta u_i(x) + \alpha v_i(x) + w_i(x))}{\gamma}]_1 \cdot [\gamma]_2 + [C]_1 \cdot [\delta]_2$
成立。
在验证以上方程式成立过程中，Verifier的计算量为：
1) 1次exponentiations in \mathbb{G}_1
2) 少量的group multiplication
3) 3次pairing计算。假设 $[\alpha\beta]_T = [\alpha]_1 \cdot [\beta]_2$ 以根据Verifier的reference string预计算了。
- Prove算法中，Prover需计算polynomial $h(X)$ 。
Prover可计算以下polynomial evaluations：
 $\sum_{i=0}^m a_i u_i(r_q) = \sum_{i=0}^m a_i u_{i,q}$
 $\sum_{i=0}^m a_i v_i(r_q) = \sum_{i=0}^m a_i v_{i,q}$
 $\sum_{i=0}^m a_i w_i(r_q) = \sum_{i=0}^m a_i w_{i,q}$
for $q = 1, \dots, n$ 。
具体计算量取决于relation，若arithmetic circuit中的每个乘法门连接了a constant number of wires，则该relation为sparse的，相应的计算为linear in n 。
由于这些polynomial的degree为 $n - 1$ ，以上 n 个evaluations可完全确定该多项式。若 r_1, \dots, r_n 为root of unity for a suitable prime p ，则Prover可使用标准的FFT技术来计算 $h(X)$ ， 仅需要 $O(n \log n)$ operations in \mathbb{Z}_p 。同时，Prover还可使用FFT技术来计算 $\sum_{i=0}^m a_i u_i(X)$ 和 $\sum_{i=0}^m a_i v_i(X)$ 的系数。为了获得所有的系数，Prover需 $m + 3n - 1 + 3$ 次exponentiation in \mathbb{G}_1 和 $n + 1$ 次exponentiation in \mathbb{G}_2 。
随着security parameter增长，这些exponentiation将为主要开销。但是，对于中等security parameter和large statement，通过FFT来计算multiplication的开销将更大。此时，通过用更大的common reference string，其中包含了precomputed $[u_i(x)]_1, [v_i(x)]_1, [v_i(x)]_2$ elements for $i = 0, \dots, m$ ，使得A, B可直接构建，而Prover不再需要计算 $\sum_{i=0}^m a_i u_i(X)$ 和 $\sum_{i=0}^m a_i v_i(X)$ ，也就不需要做相应exponentiation运算。
对于boolean circuit，有 $a_i \in \{0, 1\}$ ，通过这些precomputed elements，Prover仅需分别做 m 个group multiplication来计算A和B。
因此，让CRS更长可让Prover具有lower computational cost。

5. Lower bounds for non-interactive arguments

有一个有趣的问题是， non-interactive argument的efficiency极限是多少？
本文证明了，对于pairing-based non-interactive arguments， proof中至少应包含2个group elements。

